

名古屋大学	正会員	松尾 稔
広島県	正会員	○渡辺 誠
不動建設	正会員	"小瀬 泰裕

1. はじめに：土質調査や試験の結果が土本体の性質に起因してばらつくことは一般によく知られている。そのため、ばらつきを考慮した解析法が必要となるが、その解析法としては、土の強度や諸係数を確率変数として取り確率統計的手法が最も有効であると考える。そこでこの場合には、土の強度や諸係数の分布特性を把握することが必須である。地盤の破壊は土のせん断強さに依存するから、地盤の破壊問題を確率的に解析しようとするならば自体の確率分布を知る必要がある。しかし、設計の強度、何種類もの垂直圧力に対する実験的での分布を求ることは、経済的にも実務的にも不可能に近い。そこで、つきより

$$\tau = C + \sigma \tan \phi \quad (1)$$

の関係を用い、 C と $\tan \phi$ の分布特性を知りあわせてこの分布を推定することにならざるをえない。さなかつ、種々の土に P 個の C 、 $\tan \phi$ の分布特性(平均値 μ 、分散 S^2 、変動係数 $V = S/\mu$ など)を既前記調べて設計用の資料として準備しておく。そこで実際設計に当たっては、ある限界とした個数の実験から C 、 $\tan \phi$ の平均値と分散を推定し、これからでの分布を推定することになる。この方法を用ひようとするならば、 C や $\tan \phi$ の分布特性と、それから推定されるごとに自体の分布特性との関連を定量的に明らかにすることが必須である。本報告はこの目的のもとに、実務上利用価値の高い一面せん断試験を行い、これらの点を検討したものである。

2. て自体の分布特性：まずこの分布特性を明らかにするための一面向せん断試験を行った。土試料は、土粒子 $G_s = 2.60$ 、最適含水比 $W_{opt} = 18.0\%$ 、最大乾燥密度 $\gamma_{d,max} = 1.89(\text{kg}/\text{cm}^3)$ 、均等係数 $U_c = 130$ 、三角座標分類では砂質ロームに属する不飽和土である。初期の充填試体寸法は、直径6cm、厚さ2cmとし、せん断速度は 1mm/min のひずみ制御とした。 w_r 、 μ_r および σ_r の設定に関しては、実際の土工における工学的判断に基づいて $\mu_r = 1.60(\text{kg}/\text{cm}^2)$ 、 $w_r = 15\%$ の場合に対する σ_r ($i = 1 \sim 4$) = 0.4, 0.8, 1.2, 1.6 (kg/cm^2)の4段階とした。各 σ_r に対して50個の試験を目標とした。なお、でに述べたが現れぬ場合には、水平変位6mmに対することを用ひて整理した。

一面せん断試験の結果得られた σ_r ($i = 1 \sim 4$)に対するての頻度分布を図-1に示す。図-1に示す頻度分布は、すべて χ^2 適合度検定結果

果有意水準5%以下たとき正規分布 $N(\mu_r, \sigma_r^2)$ 度数近似できることが明らかとなった。図中に平均値 μ_r 、標準偏差 S_r 、変動係数 V_r および試験個数 N を示す。今後さらに多くの実験的研究に待たねばならないが、各 σ_r に対するての分散 S_r^2 は σ_r^2 の増加とともに増大する傾向を示すようである。

3. C と $\tan \phi$ の分布：では $N(\mu_r, \sigma_r^2)$ の正規分布を示すことになった。それは、

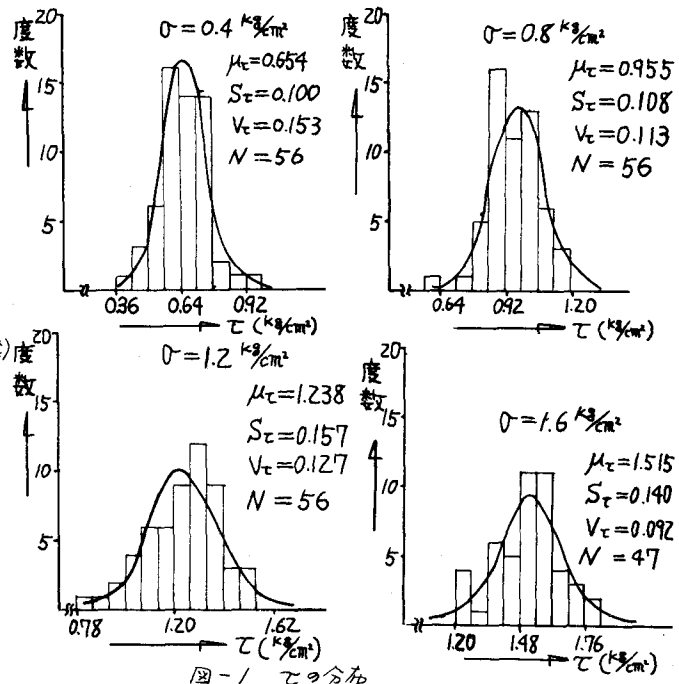


図-1 ての分布

式(1)が成立するとき, C や $\tan\phi$ の分布は理論的にどうなるべきであろうか。この $N(\mu_{ci}, S_{ci}^2)$ から 1つずつランダムに抽出したデータをとておこう。このようにして抽出した4対の $(\sigma_i, \bar{c}_i), \dots, (\sigma_4, \bar{c}_4)$ に対して最小自乗法を用いて C , $\tan\phi$ を推定する。 \bar{c}_i , $\bar{\sigma}_i$ をそれぞれ $i(i=1 \sim 4)$, $\sigma_i(i=1 \sim 4)$ の平均値とするとき $\tan\phi$, C の次式で与えられる。

$$\tan\phi = \frac{\sum \sigma_i \bar{c}_i - \sum \bar{c}_i \sum \sigma_i}{\sum \sigma_i^2 - (\sum \bar{c}_i)^2 / 4} \quad (2) \quad C = \bar{c}_i - \tan\phi \cdot \bar{\sigma}_i \quad (3)$$

さて、式(2)の分子は指定変数の因数であるので確定値であり、分子は正規確率変数同士の減算式、かつ各々には互いに独立であるので $\tan\phi$ は正規分布をする。同様に C も正規分布する。周知のように、正規分布は平均値 μ と標準偏差 S が決まれば分布形が規定される。また、 μ , S による期待値 $E[\tan\phi]$ および分散 $V[\tan\phi]$ または C に一致する。以上のことから $\tan\phi$, C の標準偏差は $\tan\phi$, C および因数 \bar{c}_i , $\bar{\sigma}_i$ とそれを式(4), (5)で与えられる。

$$\mu_{\tan\phi} = E[\tan\phi] = \frac{1}{\sum \sigma_i^2 - (\sum \bar{c}_i)^2 / 4} \left\{ \sum (\bar{c}_i - \bar{\sigma}_i) \mu_{ci} \right\}, \quad S_{\tan\phi}^2 = V[\tan\phi] = \left\{ \frac{1}{\sum \sigma_i^2 - (\sum \bar{c}_i)^2 / 4} \right\} \sum (\bar{c}_i - \bar{\sigma}_i)^2 S_{ci}^2 \quad (4)$$

$$\mu_C = E[C] = \sum \mu_{ci} / 4 - \bar{\sigma}_i \cdot \mu_{\tan\phi}, \quad S_C^2 = V[C] = \sum \left\{ \frac{1}{4} - \frac{1}{\sum \sigma_i^2 - (\sum \bar{c}_i)^2 / 4} (\bar{c}_i - \bar{\sigma}_i)^2 \right\} S_{ci}^2 \quad (5)$$

$\tan\phi$ および C の平均値 μ , 標準偏差 S および変動係数 V を式表-1にまとめる。 $\tan\phi$ と C の変動係数をみると、前者は後者に比べて小さい。これもやはり実験における總められるとおり、注目すべき点である。ちなみに、 C や $\tan\phi$ を確率変数とみなす立場に立つならば、例えば $\tan\phi$ 一般に用いられる π 倍の Fellenius の安全率の意味などがきかれて不明確なものとなり、安全率の定義そのものを考え直さなければならなくなることになる。

4. この推定に関する問題点: 3では、て自体の分布形が条件として与えられていない場合について $\tan\phi$ の分布形を求めた。しかし、ここで述べたように、実際の設計に当たっては、より詳しくして $\tan\phi$ の分布形からての分布形を推定することになる。そこで、 C , $\tan\phi$ の分布形を条件として与えたとき、これから統計的に推定されるての分布形と生じての分布形との関連を論じることが重要なである。ここでは、前節で C , $\tan\phi$ の分布形から式(1)に従って推定されることを、図-1 にて比較検討する。

C , $\tan\phi$ の分布形が与えられていれば、各分布に対するての分布は次のように計算できる。ちなみに、 C , $\tan\phi$ の分布がともに $N(\mu_{ci}, S_{ci}^2)$ であるとき、 C と $\tan\phi$ の相関係数を ρ とするとときの平均値 $\hat{\mu}_{ci}$ および標準偏差 \hat{S}_{ci} は式(6), (7)で与えられる。

$$\hat{\mu}_{ci} = \mu_{ci} + \sigma_{ci} \mu_{\tan\phi} \quad (6)$$

$$\hat{S}_{ci}^2 = \hat{\mu}_{ci}^2 + \sigma_{ci}^2 \mu_{\tan\phi}^2 + 2\rho \sigma_{ci} \mu_{\tan\phi} S_{ci} \quad (7)$$

ここで、 $\rho = 0.7$ のシミュレーション結果によると $\rho = -0.98$ である。

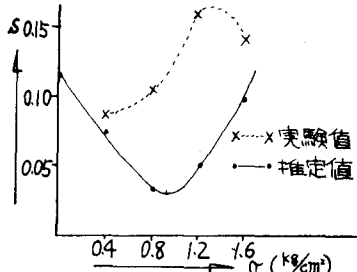


図-2 $\hat{S}_{\tilde{c}}$ と S_c の比較

さて、 $\hat{\mu}_{ci}$ と \hat{S}_{ci} は式(6), (7)のようになり式(1)と同じ形であり $\hat{\mu}_{ci}$ と \hat{S}_{ci} と一致する。一方、 $\hat{\mu}_{ci}$ と S_{ci} は異なったものになる。ちなみに、図-2 に、式(7)で計算した \hat{S}_{ci} を実線で、生じての分布(図-1)から得られた実験値 S_{ci} を破線で示す。このように両者はかなり相違する。ちなみに、設計に際して C , $\tan\phi$ の分布からてを推定すると、実際のものより今後の小さいでの分布を得ることになる。このことは、計算上、規定より少しある破壊率を見積る結果となり危険側の設計となることになる。今後この差を定量的に明確にして、努力が必要と考えられる。

5. まとめ: $\hat{\mu}_{ci}$ と μ_{ci} が一致することはない設計上の大都合といえる。しかし、 \hat{S}_{ci} と S_{ci} が異り、かつ \hat{S}_{ci} と S_{ci} がなることの危険側の設計につながるから、この点を設計の実務と工学的判断の立場から実用的であることが今後の課題である。